

# 半导体整流电路

苏联 B. I. 罗金斯基著  
王怀亮譯



人民邮电出版



# 半導體整流電路

苏联 B.IO. 罗金斯基 著

王 怀 亮 譯

人民郵電出版社

В.Ю. РОГИНСКИЙ  
ПОЛУПРОВОДНИКОВЫЕ  
ВЫПРЯМИТЕЛИ  
ГОСЭНЕРГОИЗДАТ 1952

内 容 提 要

这本小册子介绍了固体整流器（氧化铜和硒整流器）及其在各种电路中的应用。列举了收音机与发射机用整流器的典型设计、必要的图表及参考资料。

半 导 体 整 流 电 路

---

著 者：苏联 В. Ю. 罗 金 斯 基

譯 者：王 怀 亮

出 版 者：人 民 邮 电 出 版 社  
北京东四区 6 条胡同13号

印 刷 者：人 民 邮 电 出 版 社 南 京 印 刷  
南京太平路户部街15号

發 行 者：新 華 書 局

---

書號：无97 1956年10月南京第一版第一次印刷 1—10,270 册  
787×1092 1/32 32頁 印張2 字數 41,000 字 定价 0.23 元

★北京市書刊出版業營業許可證出字第〇四八号★  
統一書號：15046

## 目 錄

緒論	( 1 )
半導體整流器的作用原理	( 5 )
硒整流器	( 11 )
硒整流器的電氣特性	( 16 )
氧化銅整流器	( 22 )
氧化銅整流器的電氣特性	( 24 )
硒整流器和氧化銅整流器的比較	( 26 )
整流電路及其計算公式	( 28 )
純電阻負載的半波整流電路	( 30 )
電容性負載的半波整流電路	( 32 )
電感性負載的半波整流電路	( 35 )
純電阻負載的全波整流電路	( 36 )
倍壓整流電路	( 38 )
整流器中的損耗	( 41 )
整流器的設計	( 43 )
濾波器的設計	( 52 )
結論	( 58 )
附錄一：電源變壓器鐵心的選擇	( 59 )
附錄二：濾波器扼流噐鐵心的選擇	( 60 )

## 緒論

大多数现代发电站发出来的是交流电。交流电之所以如此普遍是因为它比直流电具有更大的优越性。它最重要的优点是变压的可能性，它能够从一个电压变成另一个较高的或较低的电压，这种变压的可能性被普遍应用在电站与用电地区间的远距离高压电力传输上，用高电压输电可以减少输电线上的损耗。

交流电流就是这样的电流：它的大小和方向的变化经过相等的时间间隔（ $T$ ）周期地重复变化着。在一秒钟内电流周期性变化的次数叫作交流电流的频率（ $f$ ）。频率的单位是赫兹（赫），等于每秒一周：

$$f = \frac{1}{T} \text{ 赫。}$$

在苏联，所有交流市电的电流 $i$ 都随时间 $t$ 按正弦规律变化（图一），频率为50赫。

日常生活中使用的交流市电电压是127伏或220伏。

用交流电供给无线电设备的电源是很方便的。交流电可直接供给旁热式真空管的灯丝电路，也可以供给直热式功率管的灯丝，而不致在无线电设备的输出中产生显著的交流声<sup>①</sup>。但是电子管的板压和栅压必须以直流电供给。

将交流变为直流需用特殊设备——只通过单向电流的整流

---

註① 交流声就是以不間断的音調的形式出現在收音機中的噪音。

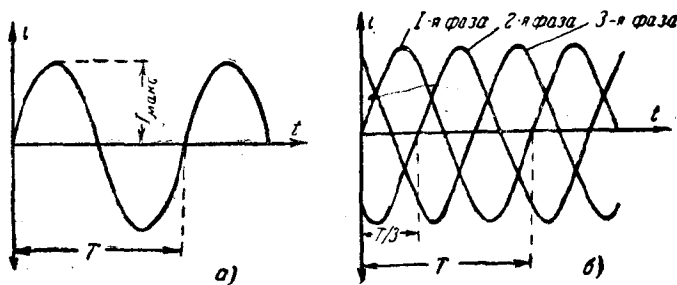


圖 1. 交流电流

a—單相电流; b—三相电流。

器。整流后得到的是脈動电流，即电流的方向不变而大小随时間改变。圖二为由全波整流电路得到的脈動电流的圖形。

脈動整流电流可以看作是直流分量与交流分量（諧波）之和。諧波的頻率是市电頻率的倍数。例如，脈動电流的最大值（振幅） $I_{b\cdot max}$ （圖二）是下列各項之和：

- a) 直流分量  $I_0 = 0.636 I_{b\cdot max}$ ;
- b) 二次諧波分量（其頻率为市电頻率的兩倍），等于  $0.424 I_{b\cdot max}$ ;
- c) 四次諧波分量，等于  $0.085 I_{b\cdot max}$ ;
- d) 六次諧波分量，等于  $0.038 I_{b\cdot max}$ .

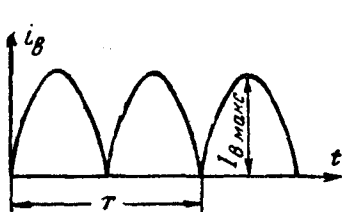


圖 2. 整流后的脈動电流

可以看出，諧波振幅隨頻率的增加而減小。如果忽略高次諧波的小电流，则脈動电流如圖三所示。由圖可見：脈動頻率等于市电頻率的兩倍。

不能用这种电流供给收音机或擴大机的电路，因为真空管板極电流將隨整流电压波紋的頻率急遽地变化。

整流电压波紋的大小通常用波紋因数 $k_n$ 來表示。 $k_n$ 为整流电压的交流分量 $U_{n.makc}$ 与直流分量 $U_0$ 比值的百分数：

$$k_n = \frac{U_{n.makc}}{U_0} \times 100\%$$

如果負載為純電阻，則波紋因数亦可用电流表示：

$$k_n = \frac{I_{n.makc}}{I_0} \times 100\%$$

因为在这种情况下， $U_0 = I_0 \cdot R_n$ ， $U_{n.makc} = I_{n.makc} \cdot R_n$ ， $R_n$ 为負載电阻。

表一列举了負載为不同形式时波紋因数的容許值。

如果波紋因数超过容許值，必須採取措施以使其減小。为此，在整流器的輸出电路中接入附加網絡——平滑濾波器。

一般是按整流电路和所用的整流元件來区分不同类型的整流設備。

在这本小冊子里，我們只研究半導体整流器，其作用原理是基于半導体与金屬間接触点的整流特性。这种整流器中最常

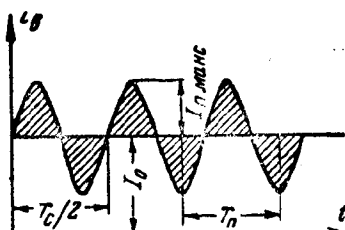


圖 3. 整流电流的直流和交流分量。

$T_c$ —市电电流的周期；

$T_n$ —电流波紋的周期。

見的是硒整流器和氧化銅整流器。它們具有許多优点：沒有灯絲电路和真空玻璃泡，能整流低电压，尺寸較小，效率高，能在很大的溫度範圍內工作等。

表一 直流电能消耗器及其特性

能 量 消 耗 器	电 的 特 性		
	电压, 伏	电流, 安	容許的电压或 电流波紋因數 $k_n$ , %
电源用交流市电的收音机：			
a) 低频放大器输出级板極电路	240—450	0.04—0.1	<0.5
b) 前级放大器、高频放大器、变 频器等的板極电路	200—300	0.01—0.02	<0.1
c) 电动式喇叭的激励纜捲	60—240	0.015—0.04	<20
d) 直热式小功率管的灯絲	2—6.3	5 以下	<0.5
小功率振盪器(高频放大器的电子 管)：			
a) 振盪器板極电路	450 以下	0.1 以下	<0.5
b) 真空管灯絲	2—20	2 以下	<0.1
10—25 瓦短波發射机的高频放大器 (直热式电子管)：			
a) 板極电路	750 以下	0.1 以下	<0.1
b) 灯絲电路	4—20	5 以下	<0.5
小功率直流电动机	120—240	0.5 以下	<5

## 半導体整流器的作用原理

半導体整流器是夾在兩塊金屬電極間的半導體層。現時應用最廣的是硒整流器和氧化銅整流器。此外也有用其他半導體材料的整流器（如矽、鎢及二氧化鈦整流器等）。

圖四為半導體整流元件的截面略圖。圖中電極A作為陽極，K作為陰極。二電極之間是半導體層。這種整流元件的整流作用在於其電阻隨電流的方向而急遽變化。當電流方向為自陽極流向陰極，即電壓的“正”加於陽極，“負”加於陰極時，電阻非常小。

自陽極流向陰極的電流稱為正向電流  $I_{np}$ ，此時加於整流元件的電壓稱為正向電壓  $U_{np}$ 。 $I_{np}$  有時也叫作整流器的通向電流。

當電流反向，即自陰極流向陽極時，整流元件的電阻急遽增長。此時電流稱為反向電流  $I_{op}$ 。反向電流是在反向電壓  $U_{op}$  作用下產生的，也就是電壓的“正”加於陰極，“負”加於陽極。反向電流的存在乃是半導體整流器的特點，它與“理想”整流器有很大差別。

為了了解半導體整流器作用的物理過程，必須，那怕很簡略地，熟悉一下固体的基本電氣特性。

所有的固体可以按照其導電能力分為導體，半導體和絕緣

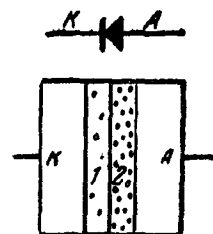


圖 4. 半導體整流元件略圖  
K—陰極； A—陽極；  
1—閘鐵層； 2—半導體層。

体（介質）三类。电導体的电阻非常小，主要包括金屬，其电阻率約在 $10^{-4}$ — $10^{-5}$ 欧一厘米之間，且隨導体溫度的上升而增大。絕緣体（介質）在正常条件下实际上是不導电的，其电阻率約为 $10^{10}$ — $10^{18}$ 欧一厘米。半導体（电子的）按其电气特性是介乎導体与絕緣体之間的，其电阻率在很大的范围内变动，約自 $10$ 至 $10^{10}$ 欧一厘米，且隨着半導体溫度的升高而減小。

大家都知道，一切物質都是由原子構成的。每一种化学元素的原子都是由帶正电的原子核与圍繞着它的帶负电的电子組成的。电子按照一定的封閉曲綫（軌道）繞原子核运动。所有电子都是一样的，每个电子的电荷 $e=1.6\times 10^{-19}$ 庫侖。原子的特性决定于原子核的电荷，其数值总是电子电荷的整数倍。因此，原子核的电荷  $Q=eZ$ ， $Z$  为一个整数，称为元素的原子序数。在正常状态下，原子是中性的，所以原子內电子的总数等于原子序数。顯然，原子量愈大，原子序数也愈大。

电子沿着与原子核距离不同的轨道运动着，因此可以說，原子的电子殼層是由几个單独的电子層構成的。离原子核最近的內層电子，由于靜电吸力，与核牢固地联系在一起，最外層的电子与核的联系較弱。这些外層电子决定了原子的化学特性。

由于原子中有帶电質点，当兩個原子距离足够近时，就会產生互作用力。这些原子間的作用力主要作用在外層电子上，迫使它們按照新的、圍繞着兩個原子的轨道运动，这就發生了化学的結合而形成了分子。

气体，液体和固体特性的顯著不同是由其原子及分子間互

作用力的性質決定的。氣體的這種互作用很小，其原子與分子構成了一個自由的、不規則地運動著的質點羣。

液体质點間的互作用較大，其分子緊緊地挨在一起，但是能在它所佔據的容積內非常慢地移動。

固体中的分子力已大到使原子不能自由移動，其在空間的位置完全固定，而只能圍繞著這個位置作不停的振動。振幅的大小與溫度有關：溫度高時振動強。可作為固体特徵的是所謂晶体結構，即質點在空間有規律和有秩序的排列。固体原子互相对称地排列着，構成了晶体点陣。晶体的强度决定于原子排列的內部对称性。

早在本世紀初，俄國學者 *Л.Н.曼傑里什達姆* 院士和 *Н.Д.巴巴列克西* 院士的實驗已經證明：金屬中電荷的移動（電導）是由電子來完成的。

金屬原子的基本特點是：位於外層軌道的電子與核的聯繫很弱，很容易與原子脫離。金屬的結晶体可近似地看作是一種電子“雲”，在這種電子“雲”中，在一定距離上分布有正游子（即失去一個或幾個電子的原子）。脫離了自己原子的外層電子，在晶体点陣內毫無規律地運動著，通常叫作傳導電子，因為金屬內電流（電荷）的傳導正是由它們來實現的。金屬內傳導電子的數目很多（等於外層電子的數目，即每立方厘米約  $10^{22}$  個）。顯然，這就決定了金屬的非常大的電導率。

上面已經提到，金屬的電阻隨溫度的上升而增大，這是因為傳導電子與晶体点陣節（узел）越來越多的碰撞的結果。溫度升高實際上並不改變傳導電子的數目，因為所有位於外層軌

道的电子在極低溫度时已經脫离了自己的原子而在点陣中运动了；而对于位于內層軌道的电子，要想脱离原子，则必須很高的溫度（通常高于金屬的熔点）。

如果有其他的雜質的原子落進金屬的晶体点陣，就会引起新的不均匀性（点陣的热振动也引起不均匀性），因此雜質能使金屬的电阻增加。

絕緣体和半導体与金屬不同之处在于：其晶体原子的外層电子与原子核緊密地結合在一起，因而不容易脱离。这种結晶体的自由电子数目很少，如果其中不含雜質，也不受电离因素的作用（例如光或上昇的溫度），那它們就是絕緣体而只有很小的电導。雜質和电离作用能增加絕緣体的电導，从而使之成为半導体。

晶体受热（或受光的作用）后，其外層电子的能量增加，能脱离原子成为傳導电子，具有傳導电流的能力。如同在金屬中一样，溫度的昇高使电子与点陣節的碰撞次数增加。但是傳導电子增加对半導体电導的影响超过了碰撞次数增加对电導的影响。这可由半導体的电阻隨溫度的上升而減小的事实得到証明。

如同在金屬中一样，雜質使半導体晶体点陣發生变形，因而增加其电阻。然而在半導体中雜質的作用并不止于此。假設在某种我們称之为基本物質的晶体点陣中含有一些雜質，其原子的外層电子与核联系較弱且容易与原子脫离。这些电子在基本物質的点陣節間移动着，能够攜帶电荷。在这种情况下，雜質帶來了傳導电子而使晶体的电阻率減小。

雜質对晶体的电導也可能有其他影响。有时候雜質的原子对电子有很大的親和力，即在原子的外層軌道上能容納一个或几个自由电子。这种原子的存在使基本物質的原子中的电子很容易自其外軌道上脱离。逸出的电子被雜質原子吸收并固定起來，而失去电子的原子則能在其空位上“吸引”鄰近原 子的电子。

电子自一个原子到另一个原子的轉移过程，使得沒有电子的地方，即所謂“电子穴”，不断地无次序地在点陣中从这一原子向另一原子移动着。顯然，电子穴相当于正电荷，因为它是由于失去电子而形成的。

如果把这种晶体置于外部电場中，电子穴的运动將会成为有秩序的而產生一定方向的电流。在这种情况下，电流并不是由于从这一原子轉到另一原子并被固定在那里的电子所引起，而是由于电子穴的不断运动 所引起的。因为电子穴具有正电荷，所以它的运动方向与电子的 相反。这种类型的电導叫作“空穴电導”。

当晶体中同时存在有上述兩种雜質时，电導將同时决定于自由电子和电子穴。

雜質是半導体中电荷攜帶者的主要來源，因此雜質的存在使半導体的电阻顯著降低。

應該把上述关于电傳導過程的說明看作是对于現代的固体电气特性理論底簡化和近似的敍述。

現代固体整流器的理論是苏联学者B.H. 达維多夫，A.Ф. 約飛，B.E. 拉什卡列夫等建立起來的。按照这个理論，在整

流器的半導体与一个电極間有一電阻很高的薄層，叫作閉鎖層。閉鎖層的電阻可隨整流器电流大小和方向的不同而在很寬的範圍內变化，从而保証了整流效应。

无数的實驗表明：固体整流器的閉鎖層确实存在，其厚度約為 $10^{-5}$ 厘米。已經發現氧化銅整流器的閉鎖層位于銅（陰極）与氧化銅之間，它是一种化學上純淨的氧化銅層（不含氧化物），比其余含有大量氧气的氧化銅層具有更大的電阻率。

閉鎖層是在氧化銅整流器的制造過程中形成的。

氧化銅具有“空穴”電導，即攜帶電荷的乃是帶正電的電子穴。閉鎖層（1層）中每立方厘米電子穴的數目（圖四）比氧化銅的其余部分（2層）少得多（因而電阻大得多）。由于密度不同，電子穴就由2層向1層移動（滲透），于是在兩層的交界處就產生了空間電荷：2層為負，1層為正。這些電荷的電場將要阻碍電子穴的移動，直到它們停止為止。這個過程是在整流器沒有電流通過時，即早在閉鎖層形成時就已經發生了。

如果在整流器上加上电压，使陰極為負，陽極為正，則外電場的方向將幫助克服空間電荷的電場而使電子穴自2層向1層的滲透增加。這將導致閉鎖層中電子穴的飽和，于是使閉鎖層的電阻減小且等於半導體其余部分的電阻。此時流過整流元件的電流即所謂正向電流。當極性反過來時（陰極為正，陽極為負），外電場與空間電荷電場重合，不僅將阻礙電子穴的繼續滲透，而且還要將所有早先滲透到閉鎖層的電子穴全部驅回到2層。于是閉鎖層的電阻急劇增加而流過整流器的電流非常

小，这就是反向电流。

用同样方式可以說明硒整流器的作用。硒也是空穴电導的半导体。虽然硒整流器的閉鎖層的實質到現在還沒弄清楚，但已經知道它是位于硒層与陰極之間的。

## 硒 整 流 器

硒整流片乃是上面帶有薄硒層的圓片或墊塊，在硒層上塗有易熔金屬作为接触層（所謂的陰極層）。

整流片的襯墊（下面的電極）是用軟鋼或鋁壓制成的，厚度为0.8—1.5毫米。小电流整流器的襯墊压成直徑为5—10毫米的圓片，大功率整流器則採用墊塊狀的襯墊，其外徑可大至120毫米。

大多数工业產品的硒層是用下述二法加上去的：在熾熱的襯墊上塗上所謂的无晶形硒，或者把粉末狀的硒熔在襯墊上。

上面的電極（陰極）塗在硒的表面上，電極的材料是鎇銅合金，有时在合金中还加些鉍。可以用兩种方法把電極放到硒上：用特殊的金屬噴敷槍將鎇化了的金屬噴上去，或在真空中使金屬蒸發到硒的表面上。

为了防止襯墊与陰極短路，后者不要塗在整流片的整个面上。当然，这样來，整流器的工作面積就縮小了。例如：当襯墊的外直徑为45毫米时，把陰極塗成內徑12毫米，外徑40毫米的圓環，这样的整流片的工作面積等于：

$$S_{par} = \frac{\pi}{4} (D^2 - d^2) = 11.45 \text{ 平方厘米}$$

約等于整个機垫面積的75%。

通常整流片都裝配成套(称为整流堆)。成套整流器的結構形式决定于它的用途、功率及所用整流片的尺寸。

圖五是一个硒堆装配的例子，对于外徑在18毫米以上的整流片，这是典型的裝配。在圖中的裝配螺栓1上可以裝上所需數目的整流片(不超过30—40片)。接綫片5和11是为了按照

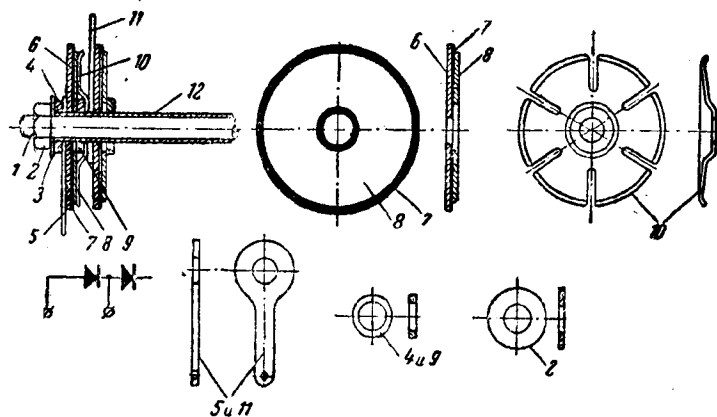


圖 5. 硒堆的零件

1—金屬裝配螺栓(或双头螺栓); 2—金屬螺母; 3—金屬墊圈; 4—絕緣墊圈; 5—陽極接綫片; 6—陽極; 7—硒層; 8—陰極; 9—絕緣墊圈; 10—彈簧墊圈; 11—陰極接綫片; 12—絕緣筒。

线路把整流片与其他元件連接用的。

最常用的整流堆的連接线路及其中整流片的相应位置見圖六。整流片的大小和数量按照整流电压和电流的值选择(算法見后)。

上面曾經提到，小功率整流器通常是用直徑为5—10毫米

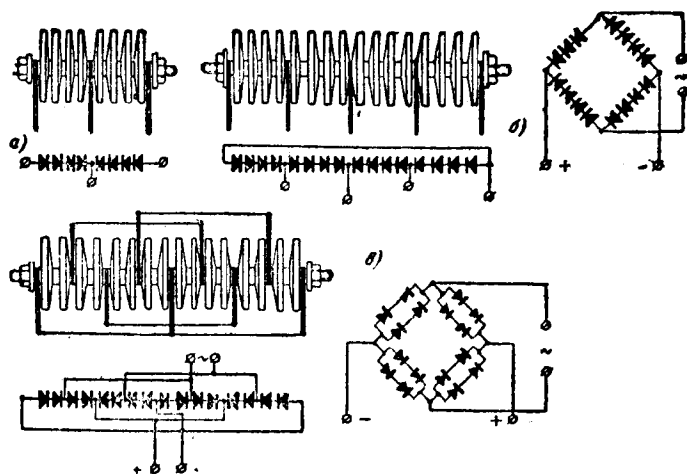


圖 6. 整流堆中整流片的接法

a—有中心抽头的接法; b—桥式接法; c—桥式接法(兩片并联)。

的整流片裝配成的。圖七繪出了这类整流器的一个例子，它是由50片直徑为7毫米的整流片串联組成的。整流片1裝在用聚苯乙烯制成的筒狀外套2內。这个管子預防了整流片間的短路，并作为它們的保护罩。借助于彈簧3和螺釘4保証了整流

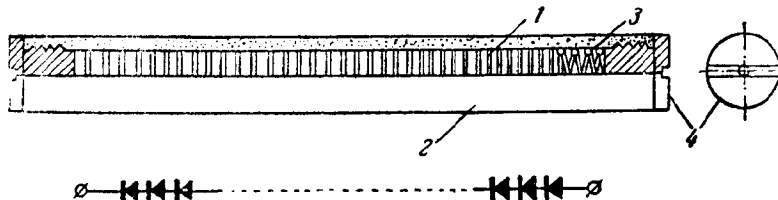


圖 7. 小电流高压硒整流器

1—整流片; 2—筒狀外套; 3—彈簧; 4—螺釘。